

بهینه سازی وزن در طراحی سازه‌های ساندویچی

دکتر محمود موسوی مشهدی: استادیار دانشکده فنی - دانشگاه تهران

مهندس فرهاد جاوید راد: عضو هیات علمی دانشکده مهندسی هواپیما - دانشگاه هراتی

چکیده:

مفهوم بهینه سازی سازه‌ها حدود ۶۰ سال پیش معرفی شده است. اولین بار اشمیت^{۱*} از دانشگاه لوس آنجلس (کالیفرنیا) فکر ترکیب تحلیل اجزای محدود و بهینه سازی را عنوان کرده است (۱۹۶۰). هم اکنون این شیوه کاملاً درک شده و در موارد متعددی به کار می‌رود و نرم افزارهای مناسبی نیز برایش گسترش یافته است. در این مقاله از ترکیب روش اجزای محدود و تحلیل بهینه‌سازی ناخطی برای طراحی بهینه سازه‌های ساندویچی از نظر حداقل وزن، بحث شده و با استفاده از روش تقریب خطی پی در پی^{۲**} به همراه روش ساده دوگانه^{۳***}، برنامه کامپیوتری طراحی شده است که قابل اجرا در کامپیوترهای PC/XT/AT است و عملیات بهینه کردن وزن سازه‌های ساندویچی را به نحو مناسبی انجام می‌دهد. در پایان نوشته با حل چند مثال در همگرایی و پایداری روش بحث و بررسی شده است.

۱- مقدمه:

سازه‌اند و رفتار سازه را توصیف می‌کنند. به عنوان مثال وزن، تغییر مکان، تنش، نیروها، فرکانسهای طبیعی و بارهای کماتشی را می‌توان نام برد. به علاوه $f(x)$ و $g(x)$ می‌توانند تابعهای صریح یا غیر صریح از متغیرهای طراحی باشند.

مسئله بهینه کردن وزن سازه‌های ساندویچی، تابع $f(x)$ وزن سازه است که با متغیرهای طراحی (ضخامت لایه‌های ساندویچی) به طور صریح بیان می‌شود در حالی که قیدهای مسئله مثلاً تغییر مکان گره‌های سازه به صورت صریح قابل عنوان نیستند و در هر مرحله از حل معادله زیر

$$[K(x)][U(x)] = [P] \quad (2)$$

به دست می‌آیند. معادله بالا از تحلیل اجزای محدود

فکر اصلی در مورد روشهای بهینه سازی سازه صورت بندی ریاضی فرآیند طراحی است. در مورد سازه‌های هوا فضایی تابع هدف، معمولاً به حداقل رسانیدن وزن سازه است به طوری که قیدهای معرفی شده برقرار باشند.

به طور کلی مسئله بهینه سازی را می‌توان چنین نوشت:

تابع هدف: $Z=f(x)$: مطلوب است حداقل

قیدهای نابرابری: $g_j(x) \leq 0 \quad j=1, \dots, m$: به ازای

قیدهای برابری: $h_k(x) = 0 \quad k=1, \dots, l$

قیدهای مرزی: $X^L_i \leq X \leq X^U_i \quad i=1, \dots, n$

که در آن $X = [X_1 X_2 \dots X_n]^T$ متغیرهای طراحی است.

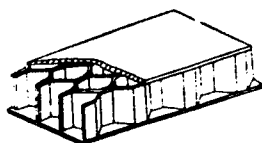
تابعهای $f(x)$ و $g(x)$ بعضی از مشخصه‌های

* - Schmitt

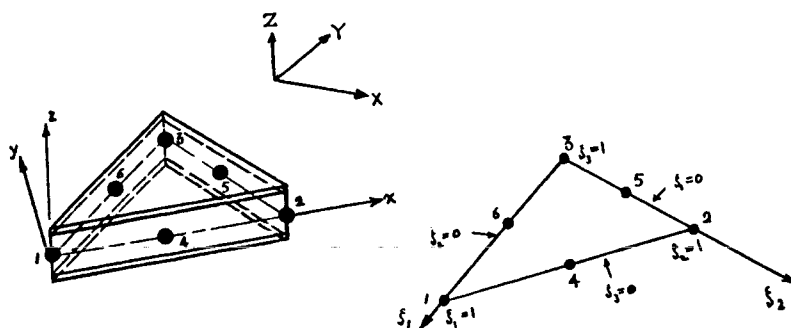
** - Sequential

*** - Dual Simplex Method

مولفه دیگر مربوط به چرخش حول سه محور است. شکل (۱) نمایشگر یک نمونه از سازه‌های ساندویچی است و شکل (۲) یک عنصر مثلثی را به همراه مختصات موضعی، مختصات مساحتی^{۱*} (ایزوپارامتریک) و مختصات سیستم نشان می‌دهد.



شکل (۱): نمونه‌ای از سازه ساندویچی



شکل (۲): عنصر پوسته ساندویچی به همراه مختصات موضعی عنصر و تصویر ایزوپارامتریک آن

بنابراین با استفاده از تابعهای شکل N_i می‌توان تغییر مکانهای درون عنصر را به صورت زیر برحسب تغییر مکانهای گرهی تقریب زد [۶].

حاصل شده و در آن K ، ماتریس سختی سازه؛ U ، بردار تغییر مکان گرهی، و P ، بردار بارکنش است. بارکنش را می‌توان مستقل از ضخامت لایه‌های ساندویچی در نظر گرفت.

۲- تحلیل اجزای محدود سازه‌های ساندویچی:

در تحلیل اجزای محدود سازه‌های ساندویچی از عنصرهای مثلثی با مرتبه بالا استفاده شده است و شش گره در صفحه میانی عضو به کار رفته، هر گره نیز دارای شش درجه آزادی است که سه مولفه آن تغییر مکان و سه

با توجه به اینکه در هر ضلع مثلث سه گره وجود دارد می‌توان یک تابع درجه دوم در مختصات مساحتی برای تقریب تغییر مکانهای درون عنصر برحسب تغییر مکانهای گرهی معرفی کرد که تابع شکل نامیده می‌شود [۶].

$$\begin{matrix} U \\ V \\ W \\ T_{xi} \\ T_{yi} \\ T_{zi} \end{matrix} = \sum_{i=1}^6 \begin{matrix} N_i & 0 & 0 & zN_i & 0 & 0 \\ 0 & N_i & 0 & 0 & zN_i & 0 \\ 0 & N_i & 0 & 0 & 0 & T \end{matrix} \begin{matrix} U_i \\ V_i \\ W_i \\ T_{xi} \\ T_{yi} \\ T_{zi} \end{matrix} \quad (3)$$

ماتریس دوران آن را به محورهای مختصات موضعی تبدیل کرد. در نتیجه مؤلفه‌های کرنش چنین نوشته می‌شود.

$$[\underline{\varepsilon}] = [\underline{TR}][\underline{SD}][U_x \ U_y \ U_z \ \dots \ w_z]^T \quad (۴)$$

که در آن $[\underline{TR}]$ ، ماتریس چرخش و $[\underline{SD}]$ ، ماتریس بستگی مؤلفه‌های کرنش با مشتق تغییر مکانهاست. اکنون می‌توان به کمک ماتریس ژاکوبین، مشتق تغییر

$$[\underline{\varepsilon}] = [\underline{TR}][\underline{SD}][\underline{J}][U_{\xi_1} \ U_{\xi_2} \ U_z \ \dots \ w_z]^T \quad (۵)$$

رابط بین کرنش و تغییر مکانهای گرهی است، به دست می‌آید و با تعیین این ماتریس و با انتگرال‌گیری در حجم عنصر می‌توان ماتریس سختی آن را تعیین کرد.

حالا می‌توان بردار مشتق تغییر مکانها را نسبت به محورهای مختصات مساحتی از رابطه (۳) به دست آورد و در معادله (۵) نشانند که از آن ماتریس $[\underline{B}]$ که

$$[\underline{K}] = \int_V [\underline{B}]^T [\underline{C}] [\underline{B}] \, dV \quad (۶)$$

$$[\underline{K}] = \int_0^1 \int_0^{1-\xi_1} \int_{-1/2}^{1/2} [\underline{B}]^T [\underline{C}] [\underline{B}] \cdot |J| \cdot d\xi_1 d\xi_2 dz \quad (۷)$$

۳- تعریف مسئله بهینه‌سازی وزن سازه‌های ساندویچی:
در مورد سازه‌های ساندویچی تابع هدف وزن سازه است که می‌تواند به صورت تابع خطی برحسب ضخامت لایه‌ها بیان شود. اگر سازه شامل NIR محدودۀ مستقل باشد که در هر محدودۀ مستقل ضخامت لایه‌ها در عناصر برابرند، می‌توان نوشت:

که در آن $[\underline{C}]$ ، ماتریس هوک است و $|J|$ ، دترمینان ماتریس ژاکوبین است که برای عنصر مثلثی مساوی دوبرابر مساحت عنصر است.
انتگرال (۷) را به کمک روش گوس با انتخاب سه نقطه وزنی می‌توان محاسبه کرد. ولی از آنجا که نوع مواد برحسب Z (ضخامت) متغیر است باید ماتریس سختی را برای هر لایه در محدودۀ انتگرال‌گیری مناسب محاسبه کرد و نتایج را به هم افزود [۱].

$$W = \sum_{L=1}^{NIR} \left(\sum_{m=1}^3 \rho_m t_m \right) L \left(\sum_{L=1}^{NE} A_e \right) L \quad (۸)$$

را مساوی در نظر بگیریم، آنگاه در هر ناحیه فقط دو متغیر خواهیم داشت. در نتیجه

که در آن چگالی وزنی لایه m و NE تعداد عناصر در منطقه مستقل L و A_e مساحت عنصر e در این ناحیه مستقل است.

اگر در هر منطقه مستقل ضخامت صفحات روکش

$$W = \sum_{L=1}^{NIR} (\rho_c t_c + 2\rho_f t_f) \cdot \left(\sum_{e=1}^{NE} A_e \right) L \quad (9)$$

قیدهای مرزی به صورت زیر با توابع ریاضی معرفی می شوند.

و در آن t_c و t_f که به ترتیب ضخامت صفحات روکش و پرکننده ساندویچ اند و متغیر مورد نظرند. در مورد قیدهای مسئله، قید تغییر مکان در گرههای عنصر و

$$\begin{aligned} \frac{U_k}{\bar{U}_k} - 1 &\leq 0 & k=1, \dots, M \\ (t_f^L)_j &\leq (t_f)_j \leq (t_f^U)_j & j=1, \dots, NIR \\ (t_c^L)_j &\leq (t_c)_j \leq (t_c^U)_j & j=1, \dots, NIR \end{aligned} \quad (10)$$

در این روش، اصولاً به جای تابع ناخطی دوجمله از بسط سری تیلور آن تابع نشانده می شوند یعنی می توان تابع ناخطی تغییر مکان را حول نقطه طراحی در هر مرحله، به صورت زیر بسط داد.

$$[U] = [U^0] + [\nabla U]^T [\delta U] \quad (11)$$

که در آن U_k ، تغییر مکان گره K ، \bar{U}_k ، تغییر مکان مجاز همان گره، و NN ، تعداد کل گرههای سازه در مدل اجرای محدود است. همچنین $t_f^L, t_f^U, t_c^L, t_c^U$ به ترتیب حد بالا و پائین صفحات روکش و پرکننده اند.

این رابطه ها نشان می دهند که قید تغییر مکانهای گرهی سازه تابعی صریح از متغیرهای طراحی (t_c, t_f) نیستند و باید در هر مرحله از تحلیل اجزای محدود به دست آیند. ولی به هر حال تابعی ناخطی از متغیرهای طراحی اند.

که در آن $[U^0]$ ، بردار تغییر مکان در نقطه طراحی؛ $[\nabla U]$ ، گرادیان تغییر مکان نسبت به متغیر طراحی λ ، و $[\delta U]$ بردار متغیر تغییر مکان است.

بنابراین دیده می شود که به ازای هر متغیر طراحی باید بردارگرادیان تغییر مکان گرهی سازه را حساب کرد. از صورت بندی اجزای محدود داریم:

$$[K][U] = [P] \quad (12)$$

اگر از معادله (۱۲) نسبت به متغیر طراحی λ مشتق بگیریم، خواهیم داشت:

۴- روش تقریب خطی پی در پی :
روش تقریب خطی پی در پی (SLP)، یکی از روشهای متداول حل مسئله بهینه سازی تابعهای ناخطی است که به دلیل سادگی برای اغلب مسائل بهینه سازی مناسب است، ضمناً بعضی نرم افزارهای بهینه سازی شکل*^۱ نیز این روش را بکار می برند. [۲].

$$\left[\frac{\partial \underline{K}}{\partial t_j} \right] \left[\underline{U} \right] + \left[\underline{K} \right] \left[\frac{\partial \underline{U}}{\partial t_j} \right] = \left[\frac{\partial \underline{P}}{\partial t_j} \right] \quad (13)$$

با توجه به اینکه بارکنش مستقل از ضخامت لایه‌های ساندویچ است $[\partial \underline{P} / \partial t_j]$ صفر است پس داریم:

$$\left[\underline{K} \right] \left[\frac{\partial \underline{U}}{\partial t_j} \right] = - \left[\frac{\partial \underline{K}}{\partial t_j} \right] \left[\underline{U} \right] \quad (14)$$

$$\left[\frac{\partial \underline{U}}{\partial t_j} \right] = - \left[\underline{K} \right]^{-1} \left[\frac{\partial \underline{K}}{\partial t_j} \right] \left[\underline{U} \right] \quad (15)$$

برای تعیین $\left[\frac{\partial \underline{K}}{\partial t_j} \right]$ می‌توان رابطه تفاضلهای محدود جلوسو^{۱*} را به کار برد. [۲] و [۳]

$$\left[\frac{\partial \underline{K}}{\partial t_j} \right] = \frac{1}{\Delta t_j} \left\{ \left[\underline{K} \right]_{t_j + \Delta t_j} - \left[\underline{K} \right]_{t_j} \right\} \quad (16)$$

(LU) تجربه شود و بدین ترتیب دستگاه خطی حاصل (۱۴) به ازای هر بردار طرف راست به سرعت با جایگزین معکوس و مستقیم محاسبه شود. در این صورت قیدهای مربوط به تغییر مکان چنین خواهد بود:

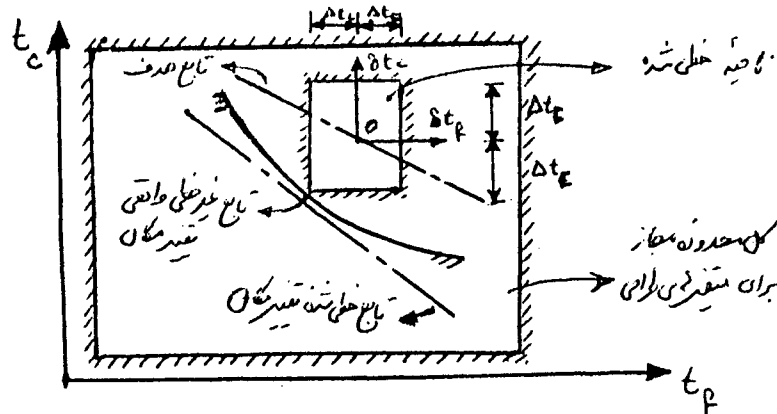
که در آن Δt_j مقدار جزئی افزایش متغیر طراحی لام است که مقدار ۰/۰۰۱ را می‌توان برای آن در نظر گرفت. ضمناً به جای محاسبه $[\underline{K}]^{-1}$ بهتر است ماتریس $[\underline{K}]$ به حاصل ضرب دو ماتریس پائین و بالا مثلثی

$$\frac{U_K}{\bar{U}_K} - 1 \leq 0 \quad \text{یا} \quad U_K \leq \bar{U}_K \quad (17)$$

$$(U_K)_L + \left(\frac{\partial U_K}{\partial t_f} \right)_L \cdot \delta t_f + \left(\frac{\partial U_C}{\partial t_C} \right) \cdot \delta t_C \leq \bar{U}_K \quad K=1, \dots, NN$$

برای این ضریب مناسب است. این ضریب از حل و مقایسه مسائلی مختلف به دست آمده است. ضمناً ناحیه ناخطی در بساورد i ام به این ترتیب برابر ۰/۷ اختلاف در مقادیر طراحی در بساورد i ام و $(i-1)$ خواهد بود. در حالتی که فقط در یک نقطه قید تغییر مکان معرفی شده باشد می‌توان به صورت شکل (۳) محدوده، خطی شده را نمایش داد.

برای اینکه روش مذکور همگرایی مناسبی داشته باشد باید محدوده‌ای حول جواب مرحله قبلی بساورد^{۲*} در نظر گرفته و در این محدوده تقریب جدید را به دست آوریم، همچنین محدوده تقریب در هر مرحله باید قدری کوچکتر از محدوده تقریب مرحله قبل باشد پس محدوده تقریب در هر مرحله، ضریبی از مقدار تغییرات متغیرهای طراحی خواهد بود که مشاهده شده مقدار ۰/۷



شکل (۳)

پس مسئله بهینه‌سازی به صورت زیر ساده می‌شود.

$$Z = \sum_{l=1}^{NIR} (W.)_L + \left(\frac{\partial W}{\partial t_f}\right)_L \cdot (\delta t_f)_L + \left(\frac{\partial W}{\partial t_c}\right)_L \cdot (\delta t_c)_L$$

مطلوب است حداقل

به ازای:

$$(U.)_L + \left(\frac{\partial U_k}{\partial t_f}\right)_L \cdot (\delta t_f)_L + \left(\frac{\partial U_k}{\partial t_c}\right)_L \cdot (\delta t_c)_L \leq (U_{max})_k \quad K=1, (\delta t_c) \dots, NN$$

$$-(\Delta t_f)_L \leq (\delta t_f)_L \leq (\Delta t_f)_L \quad L=1, \dots, NIR$$

$$-(\Delta t_c)_L \leq (\delta t_c)_L \leq (\Delta t_c)_L \quad (18)$$

$$(t_f^L)_L \leq (t_f + \delta t_f)_L \leq (t_f^u)_L$$

$$(t_c^L)_L \leq (t_c + \delta t_c)_L \leq (t_c^u)_L$$

تا $2\Delta t_c$ تغییر کند.

در این صورت مسئله بهینه‌سازی را با در نظر گرفتن متغیرهای δt_f و δt_c در هر ناحیه مستقل می‌توان به فرم کلی زیر بازنویسی کرد.

حالا می‌توان با عملیات ریاضی مسئله (۱۸) را به صورت استاندارد مسئله برنامه‌ریزی خطی*^۱ (LP) تبدیل و به روشی مناسب حل کرد. بنابراین با انتقال دستگاه موضعی $(\delta t_f, \delta t_c)$ ، ترتیبی می‌دهیم تا متغیرهای طراحی همواره مثبت باشد یعنی δt_f بین صفر و $2\Delta t_f$ و δt_c بین صفر

$$Z = \sum_{L=1}^{NIR} (W \cdot *)_L + \left(\frac{\partial W}{\partial t_f}\right)_L \cdot (\delta t_f)_L + \left(\frac{\partial W}{\partial t_c}\right)_L \cdot (\delta t_c)_L \quad L=1, \dots, NIR$$

به ازای :

$$\left(\frac{\partial U_k}{\partial t_f}\right)_L \cdot (\delta t_f)_L + \left(\frac{\partial U_k}{\partial t_c}\right)_L \cdot (\delta t_c)_L \leq (U \cdot *)_L \quad \begin{matrix} K=1, \dots, NN \\ L=1, \dots, NIR \end{matrix}$$

$$(\delta t_f)_L \leq 2(\Delta t_f)_L$$

$$(\delta t_c)_L \leq 2(\Delta t_c)_L$$

$$(\delta t_f)_L \geq (t_f^L)_L - (t_f)_L + (\Delta t_f)_L \quad (19)$$

$$(\delta t_c)_L \geq (t_c^L)_L - (t_c)_L + (\Delta t_c)_L$$

$$(\delta t_f)_L \leq (t_f^u)_L - (t_f)_L + (\Delta t_f)_L$$

$$(\delta t_c)_L \leq (t_c^u)_L - (t_c)_L + (\Delta t_c)_L$$

$$(\delta t_f)_L \geq 0$$

$$(\delta t_c)_L \geq 0$$

که در آن:

$$(W \cdot *)_L = (W \cdot)_L + \left(\frac{\partial W}{\partial t_f}\right)_L (\Delta t_f)_L - \left(\frac{\partial W}{\partial t_c}\right)_L (\Delta t_c)_L$$

$$(U_k \cdot *)_L = (\bar{U})_L - (U_k)_L + \left(\frac{\partial U_k}{\partial t_f}\right)_L (\Delta t_f)_L + \left(\frac{\partial U_k}{\partial t_c}\right)_L (\Delta t_c)_L \quad (20)$$

روش را به کار برد. [۵].

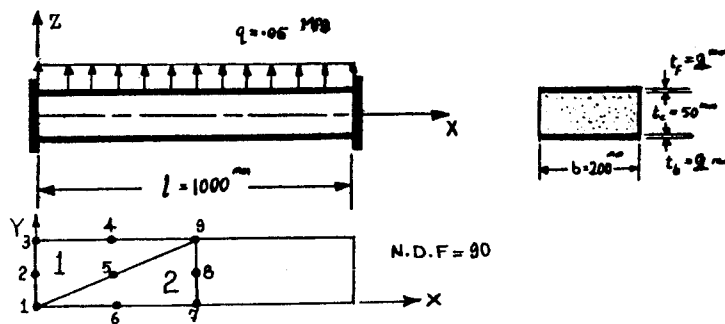
۵- مثالهای حل شده:

الف- به عنوان اولین مثال تیر ساندویچی را با تکیه گاههای گیرداری و تحت فشار یکنواخت مطابق شکل (۴) در نظر می گیریم. به دلیل تقارن فقط نصف تیر مدل شده است. مواد به کار رفته در صفحات روکش و تیر در جدول (۱) آمده است.

اکنون مسئله صورت بندی شده (۱۹) و (۲۰) را می توان با متغیرهای ضعیف*^۱ به صورت کلی روش برنامه ریزی خطی ساده دوگانه در آورده و آن را به سرعت حل کرد. استفاده از روش ساده دوگانه از این رو برتری دارد که در این روش نیازی به استفاده از متغیرهای ساختگی**^۲ نیست و چون ضرایب تابع هدف همواره مثبت است پس می توان با موفقیت این

جدول (۱)

صفحهٔ روکش آلومینیومی	پرکنندهٔ PVC/H130
$E_f = 6.9 \times 10^4 \text{ Mpa}$	$E_c = 1.6 \times 10^2 \text{ MPa}$
$V_f = 0.3$	$G_c = 55 \cdot \text{ Mpa}$
$\rho_f = 2.9 \times 10^{-6} \text{ kg/mm}^3$	$V_c = 0.3$
	$\rho_c = 1.7 \times 10^{-7} \text{ kg/mm}^3$

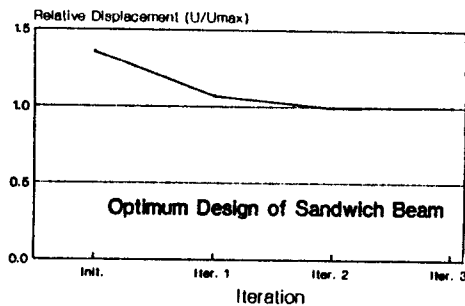


شکل (۴): آرایش و مدل اجزای محدود تیر ساندویچی با تکیه گاههای گیردار

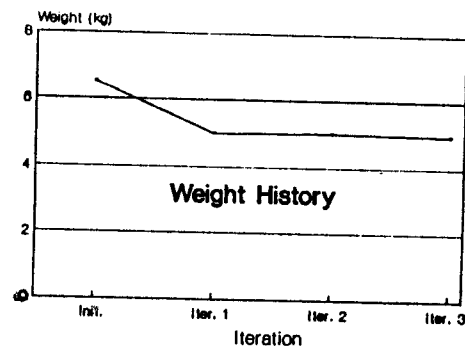
از تغییر مکان مجاز است، می توان با ترکیب صحیح ضخامت‌های صفحات روکش و پرکننده علاوه بر کاهش وزن کلی تیر، خیز تیر را نیز کاهش داد. همچنین دیده می شود که روند همگرایی روش به حد کافی سریع است به طوری که بعد از سه بساورد نتایج کاملاً همگرا شده است.

برای حل بهینهٔ این تیر ماکزیمم تغییر مکان مجاز 1.5 mm و فقط یک ناحیهٔ مستقل معرفی شده است. یعنی ضخامت صفحات روکش و ضخامت پرکننده درکل تیر ثابت است.

حل این مثال که درمنحنیهای (۵) و (۶) آمده است نشان می دهد که با وجود اینکه تغییر مکان اولیهٔ تیر بیشتر



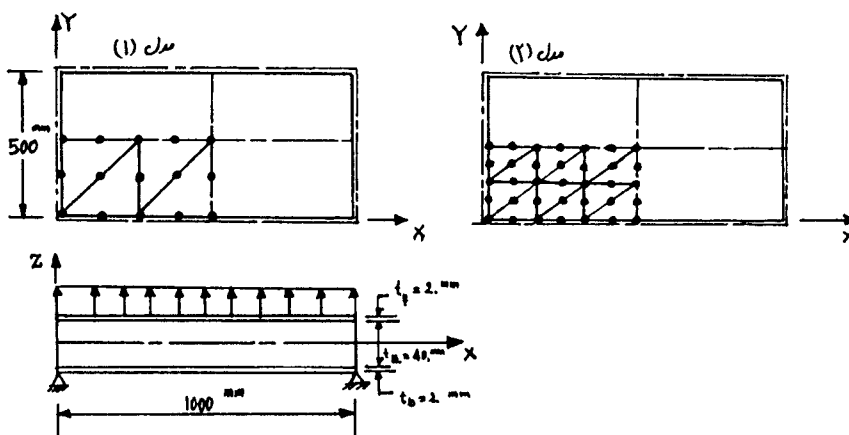
شکل (۵): تاریخچهٔ تغییر مکان نسبی وسط تیر



شکل (۶): تغییرات وزن کلی تیر

به علت تقارن آرایش صفحه و بارکنش در هر نوع فقط ۱/۴ صفحه عنصر بندی شده است. در عنصر نوع اول برای کل سازه ۲۷۰ درجه آزادی و در عنصر نوع دوم برای کل سازه ۷۰۲ درجه آزادی در نظر گرفته شده است.

ب- مثال دوم مربوط به طراحی بهینه صفحه ساندویچی مستطیلی روی تکیه گاههای ساده و تحت فشار یکنواخت است. این مسئله با دو عنصر بندی مختلف حل شده است تا همگرایی روش نیز قابل بررسی باشد. ضمناً آرایش صفحه ساندویچی و مدل های اجزای محدود آن در شکل (۷) آمده است.



شکل (۷): صفحه ساندویچی بانکه گاههای ساده و مدل های اجزای محدود آن
مواد به کار رفته برای صفحات روکش و پرکننده ساندویچ در جدول زیر داده شده است.

جدول (۲) مواد به کار رفته در صفحه ساندویچی

صفحه روکش فولادی	پرکننده PVC/H130
$E_f = 20 \times 10^4 \text{ Mpa}$	$E_c = 1.6 \times 10^2 \text{ MPa}$
$V_f = 0.3$	$G_c = 55 \cdot \text{ Mpa}$
$\rho_f = 8.7 \times 10^{-6} \text{ kg/mm}^3$	$V_c = 0.3$
	$\rho_c = 1.7 \times 10^{-7} \text{ kg/mm}^3$

مشخصات طراحی مورد نظر در جدول (۳) آمده است.

حداقل ضخامت صفحات روکش	حداکثر ضخامت پرکننده	حداقل ضخامت پرکننده	Δt_f اولیه	Δt_c اولیه
۰.3mm	50۰mm	10۰	1۰mm	5۰mm

حداکثر تغییر مکان در گره وسط عنصر	حداکثر ضخامت صفحات روکش
1۰.5mm	5۰mm

جدول (۴) نتایج تحلیل صفحه ساندویچی

	Itrc	t _c	t _c	W(kg)	W(mm)
مدل اجزای محدود (۱)	۰	۲/۰	۴۰/۰	۵/۲۰	۰/۵۹۴۳۵
	۱	۱/۰	۳۵/۰	۲/۹۱۸۸	۰/۸۰۷۷
	۲	۰/۳	۳۱/۵	۱/۳۲۱۹	۱/۵۷۳۶
	۳	۰/۳	۳۲/۴۳۷	۱/۳۴۱۸	۱/۵۰۳۰
مدل اجزای محدود (۲)	۴	۰/۳	۳۲/۴۷۹	۱/۳۴۲۷	۱/۵
	۰	۲/۰	۴۰/۰	۵/۲۰	۰/۶۷۶۹۶
	۱	۱/۰	۳۵/۰	۲/۹	۰/۹۰۳۱۵
	۲	۰/۳	۳۱/۵	۱/۳۲۱۹	۱/۶۹۹۷
	۳	۰/۳۰۰۱۷	۳۳/۹۵	۱/۳۷۴۳	۱/۵۱۳۸
	۴	۰/۳۰۰۰۵	۳۴/۱۵۷	۱/۳۷۵	۱/۵۰

مسائلی به کار گرفته نشده است. چنانکه مثالهای پیش نشان می دهند.

می توان روش نامبرده را با موفقیت برای انواع مسائل به کار برد. تنها محدودیت روش در انتخاب ناحیه تقریب اولیه است که بستگی به قضاوت طراح در هر مورد دارد. واضح است که این انتخاب در پایداری و سرعت همگرایی روش تأثیر به سزایی دارد. معرفی نواحی مستقل متعدد در مسائل سبب طولانی شدن چشمگیر محاسبات می شود و بهتر است که حتی الامکان در مسائل طراحی، نواحی مستقل را به حداقل کاهش داد.

علاوه بر عنصر معرفی شده می توان عناصر مربعی چهار یا هشت گرهی نیز به کار برد. استفاده از عنصرهای مربعی چهار گرهی سبب کم شدن دقت محاسبات در تحلیل اجزای محدود خواهد شد در حالی که از نظر زمان محاسبات بسیار مقرون به صرفه است.

در مدل سازی سازه های ساندویچی باید نسبت به انتخاب نوع عنصر بندی دقت کافی به عمل آید. برای مثال در دو مسئله بالا که با دو نمونه عنصر بندی حل شده اند دیده می شود که دقت محاسبات افزایش محسوسی پیدا نکرده ضمن اینکه حجم محاسبات به طور چشمگیری افزایش یافته است. بنابراین مدل سازی بهینه نیز به نوبه خود در تحلیل مسائل، اهمیت دارد.

۶- بحث و نتیجه گیری:

در این مقاله تحلیل بهینه سازی وزن سازه های ساندویچی به همراه روش اجزای محدود بررسی شده است. در تحلیل بهینه سازی وزن در هر بساورد از روش تقریب خطی پی در پی استفاده شده است. روش تقریب پی در پی در تحلیل بهینه تابعهای ناخطی به جهت سادگی و توانایی و همگرایی مناسب می تواند ثمربخش باشد و با بررسیهای انجام شده این روش تاکنون در حل چنین

۷- تشکر و قدردانی:

این بررسی بخشی از یک طرح تحقیقاتی در دانشکده فنی - دانشگاه تهران است و با استفاده از امکانات کامپیوتری این دانشکده انجام شده است لذا ضرورت دارد از مسئولان محترم حوزه معاونت

پژوهشی دانشگاه و مرکز کامپیوتر دانشکده فنی به خاطر فراهم کردن امکانات برای انجام دادن این پروژه سپاسگزاری شود.

مراجع:

- [1]- . Y. Ding, Optimum Design of Sandwich Constructions, Comput. Strut. Vol. 25, 51 - 68 . 1988
- [2]. V. Braibant & P. Moyelle, Shape Optimal Design and Free Mesh Generation, Structura optimization Vol. 2 , No . 4, 1990
- [3]. J . Rasmussen, The Structural Optimization System CAOS , Structural Optimitazion, 2, 109 - 115 1990
- [4]. U. Ringert, B. Esping & J. Backlund, Computersizing of Sandwich Constructions, Dept .of Aeronautical Structuras & Materials, The Royal Institue of Technology, Stockholm, Sweden, Report no. 85 - 6 (1985)
- [5]. Garret N. Vanderplaats, Numerical Optimization Techniques for Engineering Design, Mc Graw Hill, 1984
- ۶- تحلیل استاتیکی سازه‌های به روش اجزای محدود، محمود موسوی مشهدی، فرهاد جاویدراد نشریه شماره ۵۱ دانشکده فنی - دانشگاه تهران، ۱۳۷۰

OPTIMUM DESIGN OF SANDWICH CONSTRUCTIONS

Dr. Mosavi Mashadi: Faculty of Eng. Tehran University

M. Sc. F. Javidrad; Air University of Iran

ABSTRACT:

The concepts of Structural optimization was introduced about Sixty years ago. Smiths from the University of Los Angeles (California) for the first time has offered the combination of finite element method and optimization techniques to design optimum structures (1960). At present time , this techniques are generally understood and many softwares for this perpose have been developed. In this paper. Optimum design of sandwich

constructions is considered by the combination of finite element method and nonlinear optimization programming. The nonlinear problem is solved by Sequential Linear Programming. In this basis,a Software is designed which can be executed on a PC/XT/AT/ and it can solve complicated Problems Suitably. Solved examples Shows stability and convergence of the method as well as reliability of the developed software.

